

칩상호 광접속용 GaAs 광전집적회로의 기본 공정 I
(OEIC 개관 ; Zn-확산 ; SL 제작을 위한 초박막 성장)

GaAs OEIC Unit Processes for chip-to-chip Interconnection I
(OEIC overview ; Zn-diffusion ; SL layer growing)

지정근, 공명국, 전병태, 함성호, 홍창희, 권영세*

한국과학기술원 전기 및 전자공학과

ABSTRACT

Overviews of vertical and horizontal GaAs/AlGaAs OEIC are shown. Researching double Zn diffusion process, we obtain $X_j = At^{1/2} - Bd_j$, where $A = 2.5\mu\text{m}/[\text{hr}]^{1/2}$, $B = 0.625$, of which process is recommended for exact diffusion interface area control of GaAs/AlGaAs. It is proved to be 100A/100A AlAs/GaAs superlattice designed as 100A/100A AlAs/GaAs using MOCVD by measurement of photoluminescence which shows a luminescence peak corresponding to the 798.4nm wavelength calculated values of 38meV ground state above GaAs conduction band.

I. 서론

고속 단거리 다기능 통신의 요구로 AlGaAs/GaAs 재료를 이용한 시스템 개발이 필요하게 되었으며, 그 중에서도 광전집적회로(OEIC)는 핵심기술로 레이저빔 프린터, 기기간이나 보오드간 또는 IC 칩간의 신호전송계의 접속 등 그 응용범위가 매우 넓으며 이로 인한 상승 효과는 매우 크다고 하겠다. 그리하여 세계적으로 개별 광전소자의 개발이 이루어 졌으며 이제 광전소자의 집적화 방법 및 공정연구에 박차를 가하고 있는 실정이다. 본 논문에서는 OEIC의 구조와 이 OEIC의 제작을 위한 기본공정(unit process)으로 Zn 확산, SL(superlattice) 제작을 위한 초박막 성장에 관하여 언급하였다.

II. OEIC 개관

빛은 전자와 달리 질량이나 전하가 없고 even parity를 갖고 있어 작은 손실과 누화 그리고 parallelism

이나 고속소자의 가능성을 제시하고 있다. 그러나, 빛만에 의한 증폭이나 변조, 스윗칭이 어려워 전자적 소자와 결합하는 방향으로 연구되어 OEIC(Optoelectronic IC, 광전집적회로)가 개발되기 시작하였다.

1980년 Fukuzawa [1], 1982년 Ury [2] (4GHz 변조, 2 active 소자), 1986년 Nobuhara [3], (2 Gbit/s, 5 active 소자), 1985년 Matsueda [4] (2 Gbit/s, 14 active 소자) 등의 monolithic 집적연구가 있었으며 그림 1은 OEIC의 발전을 보여주고 있다. 본 실험실에서는 transmitter 형 OEIC로 수직형(그림 2)[5]과 수평형(그림 3)[6]이 연구되고 있다. 표 1에 수평형과 수직형 OEIC의 특징이 나타나있다.

III. Zn 확산 공정

GaAs 웨이퍼 특정 부분에만 p층을 형성시키는 방법으로 글질률의 변화나[7] 이중접합 레이저다이오드[8,9] 또는 트랜지스터[10] 제작시 사용되기도 하는 공정으로 최근에는 SL(superlattice)의 구조 붕괴를 위해 연구되고 있다 [11]. 확산시 주요 제어량은 확산 깊이와 폭의 조절인데 GaAs/AlGaAs의 접촉면에서 확산면의 정확한 조절을 위하여 이중 확산 공정을 제시하였다.

일반적으로 $ZnAs_2$ 를 사용하여 Zn를 GaAs 웨이퍼에 확산시킬 때 확산상수 D는

$$D = D_s + D_t k_o K \frac{r+2}{n_i^{2r}} \frac{[Zn_s^-]^{r+1}}{P_{As_4}^{1/4}}$$

단, interstitial Zn 확산이 중요하다고 가정했으며[12]

D_s : substitutional 확산상수

D_t : interstitial 확산상수

$k_o : Zn_s^- + h^+ \rightarrow V_{Ga}^o + Zn_i^{+} + re^-$ 의 평형상수

$K : [V_{Ga}^o] = K \cdot P_{As_4}^{1/4}$ 에서의 비례상수

이 발표 논문은 과학 기술처 특정 연구 과제와 관련입니다

n_i : intrinsic carrier density

그리고, As 의 GaAs 웨이퍼로 부터의 탈착을 방지하기 위해 $ZnAs_4$ 로 부터의 As_4 의 압력을 조절하기 위해 집어넣어야 할 $ZnAs_2$ 의 양은

$$m_{ZnAs_2} = \frac{10.35}{T(K)} P_{As_4} (\text{Torr}) \text{ mg/cm}^3$$

로 표시된다. 단, As_4 는 그림 4에 보인 것처럼 이상적 가스로 작용함을 가정한다.

그림 5는[13] Ga-As-Zn 상태도의 700°C 둘은 부분이다. GaAs 웨이퍼로 Zn 의 확산은 상태도에서 고체상태의 부분으로 계산되며 다른 상태와 평형을 이루고 있어야 한다. 고체상태만 포함하는 III,IV 에서 Zn 확산이 고려되어야 GaAs 웨이퍼 표면상태가 나빠지지 않는다.

실험에 의하여 $GaAs/Al_{0.3}Ga_{0.7}As$ 의 시간 t 에 대한 확산깊이 X_j 의 의존성을 그림 6에 보였다. 확산깊이는 $t^{1/2}$ 에 비례함을 알 수 있다. 이종접합 구조의 Zn 확산에 대한 실험결과를 그림 7에 보였으며 $X_j = At^{1/2} - Bd_j$ 의 관계식을 얻을 수 있었다. t 는 확산 시간이고 X_j 는 확산 전면이며, $Al_{0.3}Ga_{0.7}As$ 의 두께는 d_j 으로 표기했으며, 실험결과에서 $A=2.5\mu\text{m}/[\text{hr}]^{1/2}$, $B=0.625$ 를 얻었다.

IV. SL(superlattice) 제작을 위한 초박막 성장

MOCVD 로 AlAs/GaAs 초격자 및 GaAs 양자 우물을 성장시키고, X-선 회절법과 PL(photo-luminescence) 를 이용하여 그 특성을 측정하였다. 초격자 성장시 중요한 것은 wafer 표면에서의 반응물의 신속한 고체이다. 이를 위해서는 반응관 내에 와류가 없어야 하며, 또 Gas line 의 Vent 와 반응관 사이의 전환이 신속해야 한다.

초격자에서는 각 층의 구조 인자와 격자 상수가 주기적으로 변하기 때문에 X-선 회절무늬에도 주기적 변화가 일어난다. X-선 회절법을 이용하여 초격자의 주기 및 Al 의 구성비를 알 수 있다. 그림 8은 500Å/500Å AlAs/GaAs 초격자의 X-선 회절무늬이며, 그림 9는 300Å/300Å AlAs/GaAs 초격자의 회절무늬이다. 그림에는 GaAs peak 및 해석의 0차 peak, +1차 peak, +2차 위상 peak 들이 보인다. 그림 8에서 구한 초격자의 주기는 990Å 이며, 그림 9의 초격자의 주기는 540Å 으로 예상치와 비슷하다.

PL 을 이용하여 양자 우물 내에 형성된 부에너지띠의 높이와 양자 우물의 두께등을 알아 낼 수 있다. 그럼 10에는 20°K 에서 $Al_{0.5}Ga_{0.5}As$ 장벽에 싸인 200Å GaAs 양자 우물의 spectrum 이 나와있다. 밴 위의 0.2μm GaAs 층에서의 흡수 때문에 세기는 작다. 계산결과 200Å 양자 우물의 기저 상태는 전도띠보다 11meV 높으며, 이 때 나올 수 있는 빛의 파장은 812.4mm 이다. 그럼 11은 100Å/100Å AlAs/GaAs 초격자의 PL 특성이다. 100Å 양자 우물에서의 기저 상태는 38meV 정도 전도띠 위에 있으며, 여기에서 나오는 빛의 파장은 798.4mm 이다.

V. 결론

수직형 및 수평형 GaAs/AlGaAs OEIC 가 연구되었으며, 이중 Zn 확산 공정의 연구로 $X_j = At^{1/2} - Bd_j$, $A=2.5\mu\text{m}/[\text{hr}]^{1/2}$, $B=0.625$ 가 얻어졌으며 이는 GaAs/AlGaAs 의 접촉면에서 확산면의 정확한 조절을 할 수 있는 공정으로 제시되었다. SL 을 위한 100Å/100Å AlAs/GaAs 로 설계한 MOCVD 초박막 성장을 하여 PL 측정으로 양자 우물의 GaAs 전도띠로 부터의 기저상태 38emV 계산에 의한 798.4nm 의 방출빛과 일치함을 보여 100Å/100Å AlAs/GaAs SL 성장을 확인하였다.

참고문헌

1. Fukuzawa, M. Nakamura, M. Hirao, T. Kuroda, and J. Umeda, "Monolithic integration of a Ga-AlAs injection laser with a Schottky gate field effect transistor," Appl. Phys. Lett., vol.36, pp.181-183, 1980.
2. I. Ury, K.Y. Lau, N. Bar-Chaim, and A. Yariv, "Very high frequency GaAlAs laser field effect transistor monolithic integrated circuits," Appl. Phys. Lett., vol.41, pp.126-128, 1982.
3. H. Nobuhara et.al., 18th Conf. Solide State Devices and materials Ext. Abst. (Tokyo, Japan), Aug., 1986, p.185-188.
4. H. Matsueda et.al., Proc. 12th Int. Symp. Gallium Arsenide and related compounds (Karuizawa, Japan), Sep., 1985, p.665-660.
5. 유희준, "GaAs 광전집적회로를 위한 레이저 다이오드와 JFET 의 수직집적 기술 및 제작," 박사학위논문, KAIST (1988).

6. 김창남, "지붕형 반사기 구조의 레이저 다이오드와 고출력 MESFET으로 구성된 광전집적회로 Transmitter 의 제작," 석사학위논문, KAIST (1989).
7. E. Garmire, D.F. Lovelace, and G.H.B. Thompson, "Diffused two dimensional optical waveguides in GaAs," appl. Phys. Lett. vol.26, pp.329-331, 1975.
8. H. Namizaki, "Transverse-Junction-stripe Lasers with a GaAs p-n Homojunction," IEEE J. Quantum Electron., vol.QE-11, pp.427-431.
9. M. Ueno and H. Yonezu, "Guiding mechanisms controlled by impurity conuntrations -(Al, Ga)As planar stripe lasers with deep Zn diffusion," J. Appl. Phys., vol.51, pp.2361-2371, 1980.
10. D. Ankri and a. Scarenne, "Design and evaluation of a planar GaAlAs-GaAs Bipolar Transistor," Electron. Lett., vol.16, pp.41-42, 1980.
11. W.D. Laidig, N. Holonyak, Jr. M.D. Camras, K. Hess, J.J. Coleman, P.D. Dapkus, and J. Bardeen, "Disorder of an AlAs-GaAs superlattice by impurity diffusion," Appl. Phys. Lett., vol.38, pp.776-778, 1981.
12. R.L. Logini, "Rapid Zinc Diffusion in Gallium Arsenide," solid State Electron. vol.5, pp.127-130, 1962.
13. H.C. Casey, Jr and M.B. Pamish, "Reproducible Diffusion of Zinc into GaAs : Application of the Ternary phase Diagram and the Diffusion and solubility Analysis," Trans. AIME, vol.242, pp.406-412, 1968.

본 연구는 '88 특장연구 과제인 "레이저 및 광기술 분야"의 위탁과제에서 수행한 것이며 지원해주신 과학기술처에 심심한 사의를 표하며 주관연구기관인 전자통신연구소에 감사를 드린다.

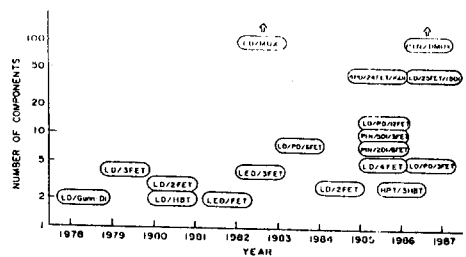


그림 1 Brief history of OEIC.

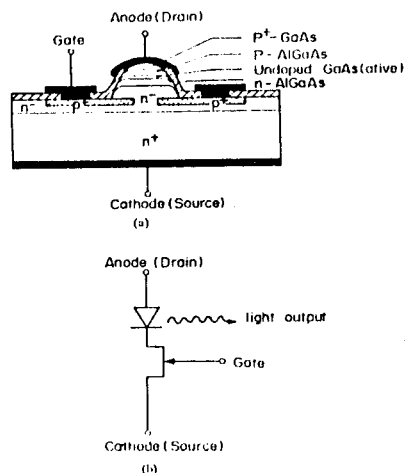


그림 2 A vertical integration of the embedded heterostructure laser diode with the vertical JFET. (a) Structure and (b) Circuit diagram.

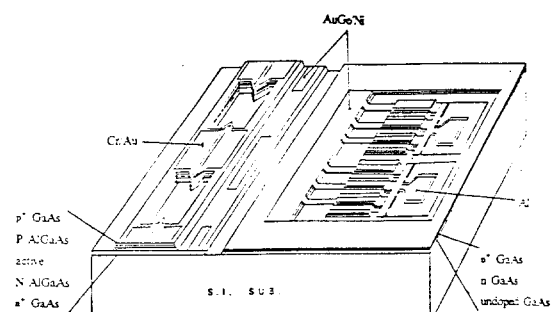


그림 3 SMOCVD-반응 이용한 OEIC transmitter

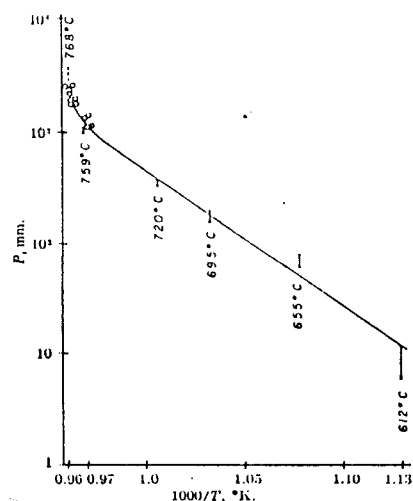


그림 4 The dissociation pressure of $ZnAs_2$ [10]

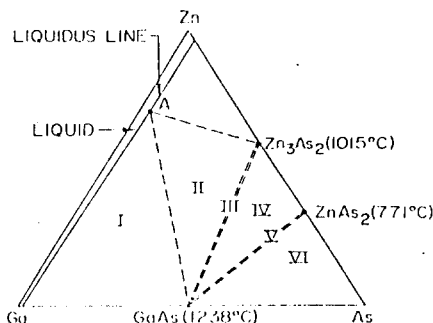


그림 5 The 700°C Ga-As-Zn ternary isotherm. The regions I-IV have solid GaAs in equilibrium with other phases [11]

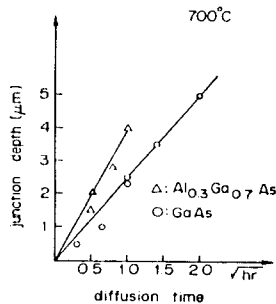


그림 6 Junction depth vs. $(\text{diffusion time})^{1/2}$ for Zn diffusion into $Al_{0.3}Ga_{0.7}As$ and GaAs at 700°C.

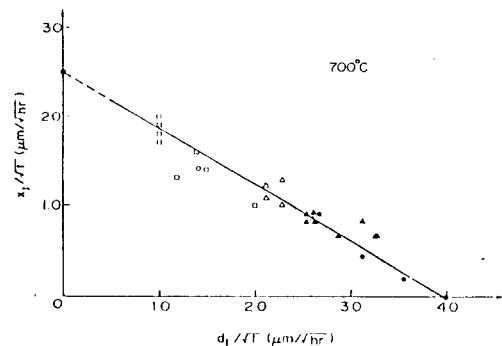


그림 7 Penetration of zinc into GaAs covered with $Al_{0.3}Ga_{0.7}As$ layers at $700^\circ C$.

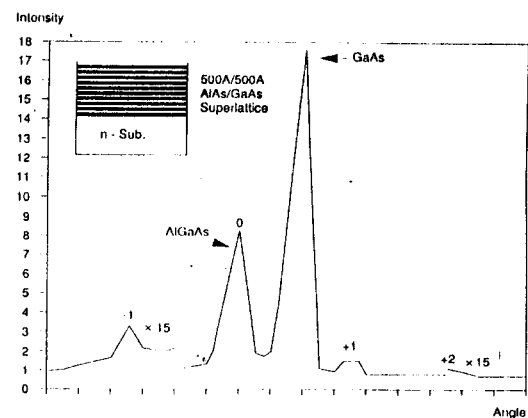


그림 8

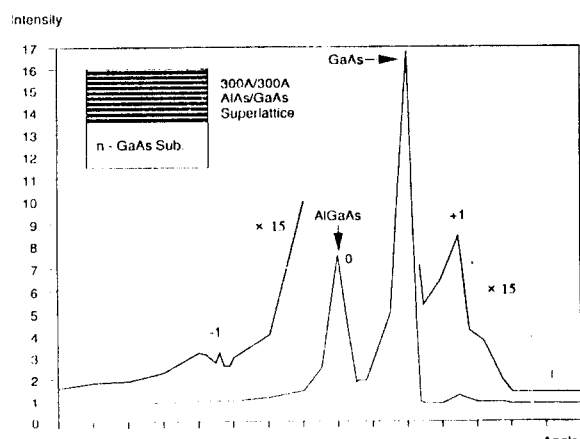
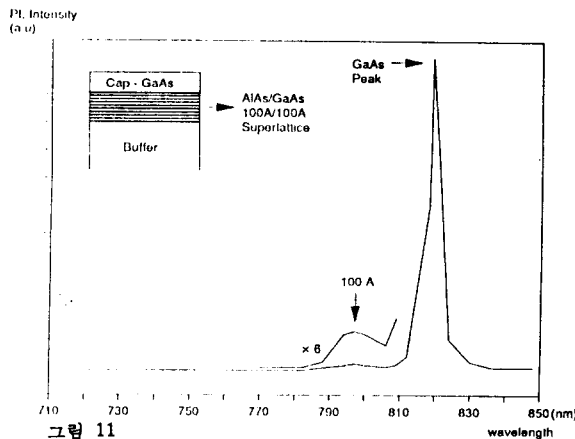
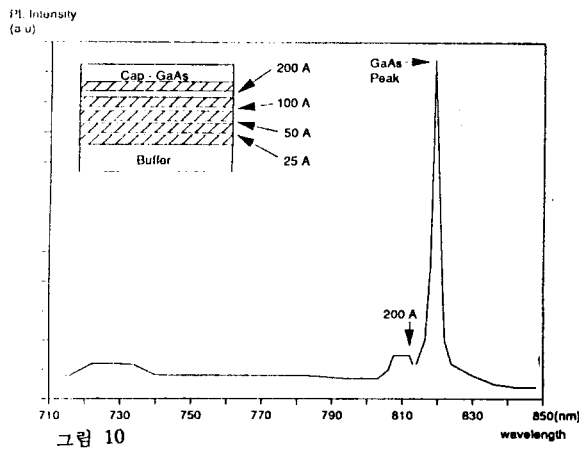


그림 9



	Vertical OEIC	Horizontal OEIC
Fab	easy (only 1 step epi-growth)	difficult (selective epi, step height)
Speed	low (large capacitance)	high
Coupling	high (optical, electrical)	low
Interconnection	short	long
Matching	easy	difficult

표 1 Comparison of the characteristics of the Horizontal and Vertical OEIC.